

# ПОСТРОЕНИЕ ТЕНЕЙ ЧЕРНЫХ ДЫР. АНАЛИТИЧЕСКАЯ ТЕОРИЯ

C. V. Чернов\*

*Астрокосмический центр, Физический институт им. П. Н. Лебедева Российской академии наук  
117997, Москва, Россия*

Поступила в редакцию 31 декабря 2020 г.,  
после переработки 31 декабря 2020 г.  
Принята к публикации 26 января 2021 г.

Рассматриваются аналитические методы построения теней черных дыр в метрике Керра–Ньютона и возможности их наблюдения с помощью радиоинтерферометрии со сверхдлинными базами (РСДБ).

DOI: 10.31857/S0044451021060031

## 1. ВВЕДЕНИЕ

Благодаря проекту «Телескоп горизонта событий» удалось наблюдать тень черной дыры у источника M87\* [1–6], но наблюдение фотонных колец является более сложной задачей будущего [7]. Для ее решения необходимо, чтобы радиоинтерферометр имел достаточно большую базу (проекцию баз), которая превышает диаметр Земли (т. е. достаточно высокое угловое разрешение, порядка доли микросекунд) [7], высокую чувствительность приемного комплекса и большую базу численных экспериментов для моделирования фотонных колец и сопоставления данных теории и наблюдений. Одним из таких проектов, который способен решить данную задачу, является проект «Миллиметрон», который планируется запустить в 2030-х гг. [8].

Существует достаточно много свободного программного обеспечения, которое способно моделировать фотонные кольца магнитогидродинамических моделей. Эти программы решают уравнения изотропных геодезических численно (например, пакеты Raptor [9], Ipole [10, 11]) или полуаналитически (grtrans [12]). Все эти пакеты имеют как численные ошибки, так и неточности, связанные с тем, что наблюдатель расположен на конечном, относительно близком расстоянии от черной дыры ( $R \approx 50R_g$ ). В данной работе уравнения изотропных геодезических решаются аналитически точно и строятся образы черных дыр для простейшего бесконечно тон-

кого диска. Такой подход более точно сопоставляет модельные и наблюдательные данные.

Интерферометрические наблюдения могут достаточно точно определить форму фотонного кольца [13], а это, в свою очередь, позволит более точно протестировать общую теорию относительности в сильном поле и определить параметр вращения черной дыры [14]. Существуют различные способы моделирования формы фотонных колец. В работе [15] форму фотонного кольца моделировали с помощью плоской кривой — улитка Паскаля (limacon), в работе [13] — с помощью выпуклых овалов (rhoval). Форма фотонных колец близко связана с формой критических кривых в гравитационном поле черной дыры, следовательно, точное моделирование фотонных колец поможет лучше понять физику вблизи черных дыр.

В разд. 2 выписываются точные аналитические решения уравнений изотропных геодезических в метрике Керра–Ньютона и строятся образы черных дыр. В разд. 3 аналитически вычисляются функции видности для колец различной формы и интенсивности. В разд. 4 приводятся выводы.

В работе используется система единиц, в которой скорость света и гравитационная постоянная равны единице,  $c = G = 1$ . Размерность длины есть  $GM/c^2$ , размерность времени —  $GM/c^3$ , где  $M$  — масса черной дыры.

## 2. УРАВНЕНИЯ ДВИЖЕНИЯ И ТОЧНЫЕ АНАЛИТИЧЕСКИЕ РЕШЕНИЯ

Метрика вращающейся и заряженной черной дыры Керра–Ньютона в координатах Бойера–Линдквиста ( $t, r, \theta, \phi$ ) имеет вид [16]

\* E-mail: chernov@lpi.ru

$$ds^2 = - \left( 1 - \frac{2Mr - Q^2}{\Sigma} \right) dt^2 + \frac{\Sigma}{\Delta} dr^2 + \Sigma d\theta^2 + \\ + \frac{\sin^2 \theta}{\Sigma} ((r^2 + a^2)^2 - \Delta a^2 \sin^2 \theta) d\phi^2 - \\ - \frac{2a \sin^2 \theta (2Mr - Q^2)}{\Sigma} dt d\phi,$$

где

$$\Sigma = r^2 + a^2 \cos^2 \theta, \quad \Delta = r^2 - 2Mr + a^2 + Q^2,$$

$J = Ma$  — угловой момент черной дыры. Корни уравнения

$$\Delta = (r - r_1)(r - r_2) = 0$$

соответствуют внешнему и внутреннему горизонтам событий

$$r_{1,2} = M \pm \sqrt{M^2 - a^2 - Q^2}.$$

В данной работе предполагается, что параметр вращения и заряд черной дыры ограничены неравенством  $0 < a^2 + Q^2 < M^2$ . Экстремальная черная дыра соответствует случаю, когда  $a^2 + Q^2 \rightarrow M^2$ . Случаям не вращающейся и не заряженной черной дыры отвечают пределы  $a \rightarrow 0$  и  $Q \rightarrow 0$  соответственно. Метрические коэффициенты и символы Кристоффеля выписаны в Приложении А.

Траектория фотонов в метрике Керра–Ньютона описывается тремя интегралами движения. Это полная энергия на бесконечности  $E = -p_t$ , угловой момент вокруг вращающейся оси черной дыры  $L = p_\phi$  и постоянная Картера

$$Q_c = p_\theta^2 - \cos^2 \theta \left( a^2 p_t^2 - \frac{p_\phi^2}{\sin^2 \theta} \right),$$

где  $p^\mu$  обозначает 4-импульс фотона. Четвертое уравнение получается из условия равенства нулю массы фотона,  $g_{\alpha\beta} p^\alpha p^\beta = 0$ . Оказывается, что интегралы движения не зависят от модуля величины полной энергии, а зависят только от знака  $E$ . Поэтому удобно ввести две новые величины, от которых зависит траектория движения фотона:

$$\lambda = \frac{L}{E}, \quad \eta = \frac{Q_c}{E^2}.$$

Тогда компоненты 4-импульса фотона записываются в виде

$$\frac{\Sigma}{E} p^t = \frac{r^2 + a^2}{\Delta} (r^2 + a^2 - a\lambda) - a^2 \sin^2 \theta + a\lambda, \quad (1a)$$

$$\frac{\Sigma}{E} p^r = \pm_r \sqrt{R}, \quad (1b)$$

$$\frac{\Sigma}{E} p^\theta = \pm_\theta \sqrt{\Theta}, \quad (1c)$$

$$\frac{\Sigma}{E} p^\phi = \frac{a}{\Delta} (r^2 + a^2 - a\lambda) + \frac{\lambda}{\sin^2 \theta} - a, \quad (1d)$$

где были введены радиальный и угловой потенциалы

$$R = (r^2 + a^2 - a\lambda)^2 - \Delta(\eta + (a - \lambda)^2), \\ \Theta = \eta + a^2 \cos^2 \theta - \lambda^2 \frac{\cos^2 \theta}{\sin^2 \theta}.$$

Символы  $\pm_r$  и  $\pm_\theta$  означают знаки импульсов фотона  $p^r$  и  $p^\theta$  соответственно. Траектория движения фотона в плоскости  $r-\theta$  определяется точками остановки в радиальном и угловом потенциалах. Поэтому удобно представить потенциалы в виде

$$R = (r - r_a)(r - r_b)(r - r_c)(r - r_d),$$

где корни уравнения расположены в следующем порядке:  $r_a > r_b > r_c > r_d$ , и

$$\Theta = a^2 \frac{(u_+ - u)(u - u_-)}{1 - u},$$

где введено обозначение  $u = \cos^2 \theta$  и

$$u_\pm = \frac{1}{2} \left( 1 - \frac{\eta + \lambda^2}{a^2} \right) \pm \sqrt{\frac{1}{4} \left( 1 - \frac{\eta + \lambda^2}{a^2} \right)^2 + \frac{\eta}{a^2}}.$$

Уравнение радиального потенциала является алгебраическим уравнением четвертой степени, решение которого можно выписать аналитически (см. Приложение B). Уравнение углового потенциала является алгебраическим уравнением второго порядка относительно  $u$ , решение которого имеет вид

$$u = u_\pm, \quad \theta_\pm = \arccos(\mp \sqrt{u_\pm}),$$

где  $\theta_+ > \theta_-$ .

Если ввести аффинный параметр  $\tau$ ,

$$\frac{dx^\mu}{d\tau} = \frac{\Sigma}{E} p^\mu,$$

то уравнения (1) перепишутся в дифференциальном виде. Нас будет интересовать интегральная форма этих уравнений. Последовательно выражая аффинный параметр из каждого уравнения, легко получить интегральную форму вида [17, 18]

$$I_r = G_\theta, \quad (2a)$$

$$\phi_o - \phi_s = I_\phi + \lambda G_\phi, \quad (2b)$$

$$t_o - t_s = I_t + a^2 G_t, \quad (2c)$$

где интегралы равны

$$\begin{aligned} I_r &= \int_{r_s}^{r_o} \frac{dr}{\pm r \sqrt{R}}, \quad G_\theta = \int_{\theta_s}^{\theta_o} \frac{d\theta}{\pm \theta \sqrt{\Theta}}, \\ I_\phi &= \int_{r_s}^{r_o} \frac{a(2Mr - Q^2 - a\lambda)}{\pm r \Delta \sqrt{R}} dr, \\ I_t &= \int_{r_s}^{r_\theta} \frac{(r^2 \Delta + (2Mr - Q^2)(r^2 + a^2 - a\lambda)) dr}{\pm r \Delta \sqrt{R}}, \\ G_\phi &= \int_{r_s}^{r_o} \frac{d\theta}{\pm \theta \sin^2 \theta \sqrt{\Theta}}, \quad G_t = \int_{\theta_s}^{\theta_o} \frac{\cos^2 \theta d\theta}{\pm \theta \sqrt{\Theta}}, \end{aligned}$$

а обозначения «*s*» и «*o*» означают положение источника излучения и наблюдателя соответственно. Все эти интегралы легко взять в явном виде. Для этого представим интеграл  $I$  как сумму двух интегралов

$$I = \int_{r_s}^{r_o} \boxed{dr} = \int_{r_a}^{r_o} \boxed{dr} + w \int_{r_a}^{r_s} \boxed{dr},$$

где  $w = \pm 1$ . Если траектория фотона имеет точку остановки в радиальном потенциале, то  $w = 1$ , если точка остановки совпадает с источником излучения  $r_s = r_a$ , то  $w = 0$ , если точка остановки отсутствует, то  $w = -1$ .

В Приложении С показаны способы разложения интегралов  $I$  в табличные и представлены значения этих табличных интегралов. Здесь выпишем явные решения для интегралов  $I$ . Явные решения для интегралов  $G$  представлены в работе [17]. Решения имеют вид

$$I_r = \frac{2(F(\nu_o, k) + wF(\nu_s, k))}{\sqrt{(r_a - r_c)(r_b - r_d)}}, \quad (3)$$

$$\begin{aligned} I_\phi &= \\ &= ga \sum_{i=1}^2 \Gamma_i \left[ (1 - \beta_i^2) (\Pi(\nu_o, \gamma_i^2, k) + w\Pi(\nu_s, \gamma_i^2, k)) + \right. \\ &\quad \left. + \beta_i^2 (F(\nu_o, k) + wF(\nu_s, k)) \right], \quad (4) \end{aligned}$$

$$\begin{aligned} G_\theta &= \frac{1}{\sqrt{-a^2 u_-}} \left[ 2mK \left( \frac{u_+}{u_-} \right) - \right. \\ &\quad - (\pm_s)F \left( \arcsin \left( \frac{\cos \theta_s}{\sqrt{u_+}} \right), \frac{u_+}{u_-} \right) + \\ &\quad \left. + (\pm_o)F \left( \arcsin \left( \frac{\cos \theta_o}{\sqrt{u_+}} \right), \frac{u_+}{u_-} \right) \right], \quad (5) \end{aligned}$$

$$\begin{aligned} G_\phi &= \frac{1}{\sqrt{-a^2 u_-}} \left[ 2m\Pi \left( u_+, \frac{u_+}{u_-} \right) - \right. \\ &\quad - (\pm_s)\Pi \left( u_+, \arcsin \left( \frac{\cos \theta_s}{\sqrt{u_+}} \right), \frac{u_+}{u_-} \right) + \\ &\quad \left. + (\pm_o)\Pi \left( u_+, \arcsin \left( \frac{\cos \theta_o}{\sqrt{u_+}} \right), \frac{u_+}{u_-} \right) \right], \quad (6) \end{aligned}$$

$$\begin{aligned} G_t &= -\frac{2u_+}{\sqrt{-a^2 u_-}} \left[ 2mE' \left( \frac{u_+}{u_-} \right) - \right. \\ &\quad - (\pm_s)E' \left( \arcsin \left( \frac{\cos \theta_s}{\sqrt{u_+}} \right), \frac{u_+}{u_-} \right) + \\ &\quad \left. + (\pm_o)E' \left( \arcsin \left( \frac{\cos \theta_o}{\sqrt{u_+}} \right), \frac{u_+}{u_-} \right) \right], \quad (7) \end{aligned}$$

где  $\nu_{o,s} = \nu(r = r_{o,s})$ ,  $m$  — число точек остановок в угловом потенциале,  $(\pm_s) = (\pm_o)(-1)^m$  [17],  $(\pm_o = \text{sign}(\theta_o))$ . Значение интеграла  $I_t$  имеет более сложный вид:

$$\begin{aligned} I_t &= (4M^2 - Q^2)I_r + gr_a^2 \frac{\alpha_1^4}{\alpha^4} \times \\ &\times \left[ V_0(\nu_o) + 2 \frac{\alpha^2 - \alpha_1^2}{\alpha_1^2} V_1(\nu_o) + \frac{(\alpha^2 - \alpha_1^2)^2}{\alpha_1^4} V_2(\nu_o) \right] + \\ &+ wgr_a^2 \frac{\alpha_1^4}{\alpha^4} \left[ V_0(\nu_s) + 2 \frac{\alpha^2 - \alpha_1^2}{\alpha_1^2} V_1(\nu_s) + \frac{(\alpha^2 - \alpha_1^2)^2}{\alpha_1^4} V_2(\nu_s) \right] + \\ &+ \sum_{i=1}^2 \frac{gA_i}{r_a - r_i} \left[ (1 - \beta_i^2) (\Pi(\nu_o, \gamma_i^2, k) + w\Pi(\nu_s, \gamma_i^2, k)) + \right. \\ &\quad \left. + \beta_i^2 (F(\nu_o, k) + wF(\nu_s, k)) \right] + \\ &+ 2Mg \left[ (r_a - r_b) (\Pi(\nu_o, \delta, k) + w\Pi(\nu_s, \delta, k)) + \right. \\ &\quad \left. + r_b (F(\nu_o, k) + wF(\nu_s, k)) \right]. \quad (8) \end{aligned}$$

Решения (3)–(8) полностью аналитически описывают траекторию фотона в метрике Керра–Ньюмена. Для построения тени черной дыры удобно воспользоваться параметрами  $(\alpha, \beta)$ , впервые введенными в работе [19]. Считаем, что наблюдатель расположен под некоторым углом  $\theta_o$  к оси вращения черной дыры в диапазоне  $\theta_o \in (0, \pi/2)$ . Запишем параметры  $(\alpha, \beta)$  в виде

$$\alpha = -\frac{\lambda}{\sin \theta_o}, \quad \beta = \pm_o \sqrt{n + a^2 \cos^2 \theta_o - \lambda^2 \frac{\cos^2 \theta_o}{\sin^2 \theta_o}}.$$

Для построения тени черной дыры нам достаточно воспользоваться только решением уравнения (2a). Из этого уравнения можно вывести радиус источника через радиус наблюдателя  $r_o$  и углы источника  $\theta_s$  и наблюдателя  $\theta_o$

$$r_s = \frac{r_a(r_b - r_d) - r_b(r_a - r_d) \operatorname{sn}^2 \left( \frac{1}{2} \sqrt{(r_a - r_c)(r_b - r_d)} I_r - F(\nu_o, q) | k \right)}{r_b - r_d - (r_a - r_d) \operatorname{sn}^2 \left( \frac{1}{2} \sqrt{(r_a - r_c)(r_b - r_d)} I_r - F(\nu_o, q) | k \right)}, \quad (9)$$

где  $\operatorname{sn}$  — эллиптический синус Якоби. Для построения образа воспользуемся методом обратной трассировки лучей. Будем запускать лучи от наблюдателя к источнику. Пусть источником излучения является бесконечно тонкий диск, расположенный в экваториальной плоскости вращения черной дыры с внутренним радиусом  $r_{in} = 6$ . Тогда  $\theta_s = \pi/2$ . Наблюдатель расположен на расстоянии  $r_o = 10^{10}$  под углом  $\theta_o = 17^\circ$ , что приблизительно соответствует источнику M87\*. Для каждого значения параметров  $\alpha$  и  $\beta$  вычисляем положение источника  $r_s$  и сравниваем с положением внутреннего радиуса диска  $r_s \gtrless r_{in}$ , таким образом определяем образ диска (черной дыры) в картинной плоскости наблюдателя. На рис. 1 показан пример образа черной дыры Керра–Ньюмена, полученный по аналитическим формулам (3) и (5) для параметров черной дыры, равных  $a = 0.9$ ,  $Q = 0.3$ . На рис. 1 показана тень черной дыры, первое фотонное кольцо и второе подкольцо (subring). Из-за того, что внутренний радиус диска  $r_{in} = 6$  близок к фотонной сфере, происходит наложение образа диска и первого фотонного кольца.

Для построения распределения угла  $\phi$  в картинной плоскости наблюдателя надо воспользоваться решениями уравнений (2a) и (2b). Определяя радиус (9) и подставляя в (4), с помощью (2b) определяем распределения угла  $\phi$ . На рис. 2 цветом показан график распределения угла  $\phi$ , нормированный на угол  $2\pi$ , в картинной плоскости.

Таким же образом можно найти образ распределения времени  $t$  в картинной плоскости. Для этого надо воспользоваться решениями уравнений (2a) и (2c).

### 3. ФУНКЦИЯ ВИДНОСТИ

В этом разделе рассмотрим наблюдательное проявление колец посредством функции видности и представим точные аналитические решения проявления колец с неоднородной плотностью и конечной толщиной.

Комплексная функция видности  $V$  двух элементов интерферометра является фурье-образом распределения интенсивности сигнала на небе  $I$  и определяется формулой [20]

$$V(\mathbf{u}) = \int I(\mathbf{x}) e^{-2\pi i \mathbf{u} \cdot \mathbf{x}} d^2 x,$$

где  $u$  — безразмерная проекция базы интерферометра в единицах длин волн,  $x$  — безразмерный размер образа в радианах. Если ввести полярные координаты  $\mathbf{x} = (\rho, \phi_\rho)$  и  $\mathbf{u} = (u, \phi_u)$ , то функция видности перепишется в виде

$$V(u, \phi_u) = \iint I(\rho, \phi_\rho) e^{-2\pi i u \rho \cos(\phi_\rho - \phi_u)} \rho d\rho d\phi_\rho.$$

Если интенсивность кольца образа черной дыры описывается бесконечно тонким кольцом с однородной интенсивностью

$$I(\rho, \phi_\rho) = \frac{1}{\pi d} \delta \left( \rho - \frac{d}{2} \right),$$

то функция видности имеет простой вид [7] (в Приложении D выписаны табличные интегралы, которые использовались при вычислении интегралов в этом разделе)

$$V(u, \phi_u) = J_0(\pi du), \quad (10)$$

где  $d$  — диаметр кольца,  $J_0$  — функция Бесселя. Если фотонное кольцо имеет конечную толщину, то для конечного кольца с однородной интенсивностью

$$I(\rho, \phi_\rho) = \frac{1}{\pi dw}$$

получаем функцию видности

$$\begin{aligned} V(u) &= \int_a^b \int_0^{2\pi} e^{-2\pi i \rho u \cos(\phi_\rho - \phi_u)} \frac{\rho d\rho d\phi_\rho}{\pi dw} = \\ &= \frac{2}{dw} \int_a^b \rho J_0(2\pi \rho u) d\rho = \\ &= \frac{1}{\pi dwu} \left( b J_1(2\pi bu) - a J_1(2\pi au) \right), \end{aligned} \quad (11)$$

где  $a, b$  — соответственно внутренний и внешний радиус кольца,  $d = a + b$  — средний диаметр кольца,  $w = b - a$  — толщина кольца. При  $a \rightarrow b$  решение (11) сводится к решению (10). Для конечного неоднородного кольца, интенсивность которого растет линейно с увеличением радиуса,

$$I(\rho, \phi_\rho) = \frac{1}{\pi dw} \left( \frac{\rho}{a} - 1 \right),$$

получаем функцию видности

$$\begin{aligned} V(u) &= \int_a^b \frac{2\rho}{dw} \left( \frac{\rho}{a} - 1 \right) J_0(2\pi u \rho) d\rho = \\ &= \frac{1}{4dw\pi u} \left[ 4b \left( \frac{b}{a} - 1 \right) J_1(2\pi ub) + \right. \\ &+ \frac{b}{au} (J_0(2\pi bu)H_1(2\pi ub) - J_1(2\pi ub)H_0(2\pi ub)) - \\ &- \frac{a}{au} (J_0(2\pi au)H_1(2\pi ua) - \\ &\quad \left. - J_1(2\pi ua)H_0(2\pi ua) \right]. \end{aligned} \quad (12)$$

Для конечного неоднородного кольца, интенсивность которого зависит параболически от радиуса,

$$I(\rho, \phi_\rho) = \frac{1}{\pi dw} \left( 1 - \left( \frac{2}{b-a} \right)^2 \left( \rho - \frac{a+b}{2} \right)^2 \right),$$

получаем более громоздкое решение:

$$\begin{aligned} V(u) &= \frac{2}{dw} \int_a^b \left( 1 - \left( \frac{2}{b-a} \right)^2 \left( \rho - \frac{a+b}{2} \right)^2 \right) \times \\ &\times \rho J_0(2\pi \rho u) d\rho = \frac{4}{dw^3} \left[ \frac{b}{(2\pi u)^3} (-8\pi bu J_0(2\pi bu) + \right. \\ &+ 8J_1(2\pi bu) - 2d\pi^2 u J_1(2\pi bu) H_0(2\pi bu) + \\ &+ 2d\pi^2 u J_0(2\pi bu) H_1(2\pi bu)) - \frac{a}{(2\pi u)^3} \times \\ &(-8\pi au J_0(2\pi au) + 8J_1(2\pi au) - \\ &- 2d\pi^2 u J_1(2\pi au) H_0(2\pi au) + \\ &\quad \left. + 2d\pi^2 u J_0(2\pi au) H_1(2\pi au) \right]. \end{aligned} \quad (13)$$

Для конечного анизотропного кольца, интенсивность которого зависит от угла  $\phi_\rho$ ,

$$I(\rho, \phi_\rho) = \frac{\sin \phi_\rho}{2dw},$$

функция видности равна

$$\begin{aligned} V(u) &= \int_a^b \int_0^{2\pi} \sin \phi_\rho e^{-2\pi i \rho u \cos(\phi_\rho - \phi_u)} \frac{\rho d\rho d\phi_\rho}{2dw} = \\ &= -\frac{i\pi \sin \phi_u}{dw} \int_a^b \rho J_1(2\pi \rho u) d\rho = \\ &= \frac{\pi i \sin \phi_u}{4udw} \left[ a(J_1(2\pi ua)H_0(2\pi ua) - \right. \\ &- J_0(2\pi ua)H_1(2\pi ua)) - b(J_1(2\pi ub)H_0(2\pi ub) - \\ &\quad \left. - J_0(2\pi ub)H_1(2\pi ub)) \right]. \end{aligned} \quad (14)$$

Данная функция видности является мнимой. Это означает, что фаза функции видности равна  $\pi/2$ . Амплитуда функции видности равна модулю от выражения (14).

На рис. 3 показаны модуль функции видности для рассмотренных колец в зависимости от проекции баз интерферометра в единицах миллиард длин волн ( $G\lambda$ ). Синяя кривая соответствует бесконечно тонкому кольцу, зеленая кривая — однородному кольцу с конечной толщиной, красная кривая — неоднородному кольцу, интенсивность которого распределена линейно с увеличением радиуса, и черная кривая — неоднородному кольцу, интенсивность которого зависит параболически от радиуса. На данном рисунке толщина кольца равна  $w = 2\mu\text{as}$  (микросекунды дуги), а диаметр  $d = 34\mu\text{as}$ . Все кривые нормированы на единицу функции видности  $V = 1$  при нулевых проекциях баз  $u = 0$ . Наибольшую скорость уменьшения функции видности в зависимости от проекции баз имеет неоднородное кольцо с параболическим профилем изменения интенсивности. Для того чтобы разрешить однородное кольцо, проекция баз интерферометра должна быть больше обратной толщины,  $u > 1/w$  [7]. Для толщины  $w = 2\mu\text{as}$  это соответствует проекциям базы  $u > 100G\lambda$ . При условиях  $u \gg 1/w$  наблюдается периодичность функции видности  $V$  с периодом  $1/w$  и асимптотикой  $V \sim 1/u^{3/2}$ . Неоднородное кольцо с линейным ростом интенсивности имеет такую же асимптотику вида  $V \sim 1/u^{3/2}$ , но периодичность выражена не так ярко. Асимптотика функции видности неоднородного кольца, интенсивность которого зависит параболически от радиуса, имеет вид  $V \sim 1/u^{5/2}$ , т. е. функция видности убывает быстрее, и периодичность не проявляется.

На рис. 4 показана амплитуда двумерной функции видности в зависимости от координат проекции баз  $(u, v)$  в единицах  $G\lambda$ . Функция видности не симметрична. Вдоль оси  $x$  она имеет нулевое значение ( $\sin \phi_u = 0$ ).

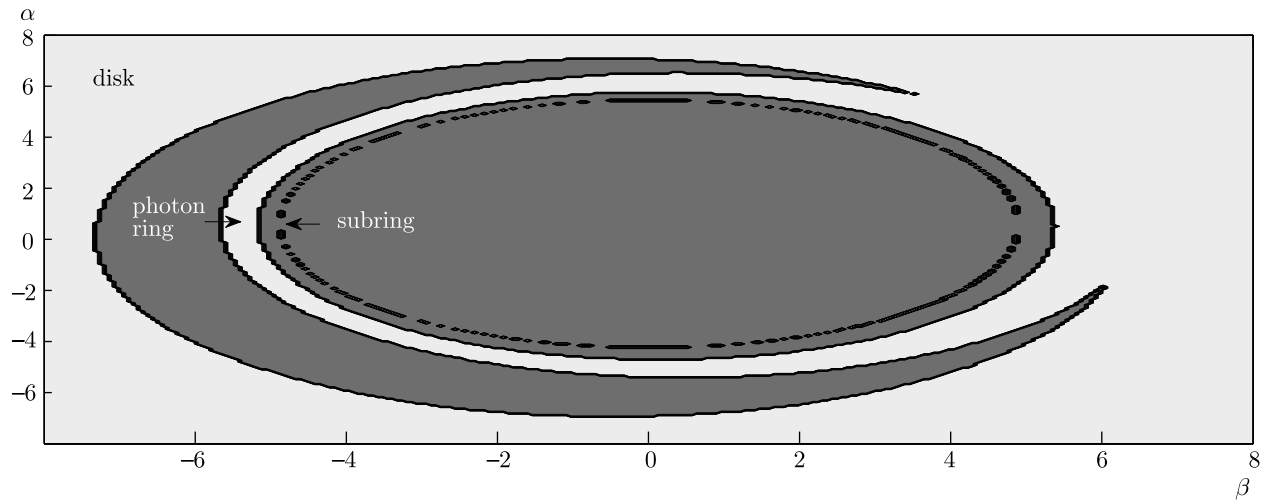


Рис. 1. Аналитический образ черной дыры, полученный по формулам (3) и (5), в зависимости от  $\alpha$  и  $\beta$

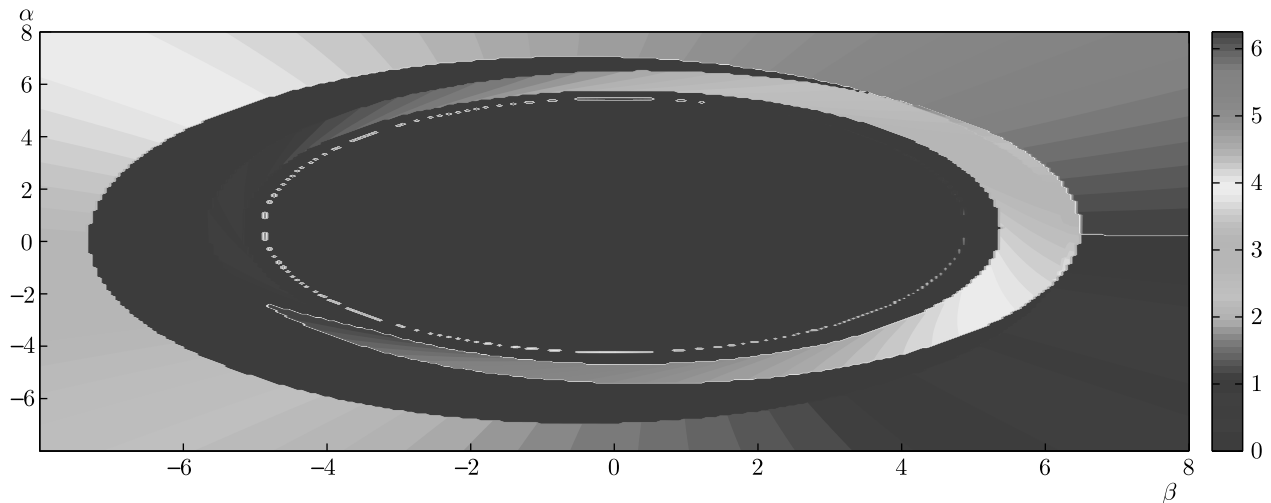


Рис. 2. (В цвете онлайн) Аналитический образ распределения угла  $\phi$  в зависимости от параметров  $\alpha$ ,  $\beta$ , полученный по формулам (3)–(6)

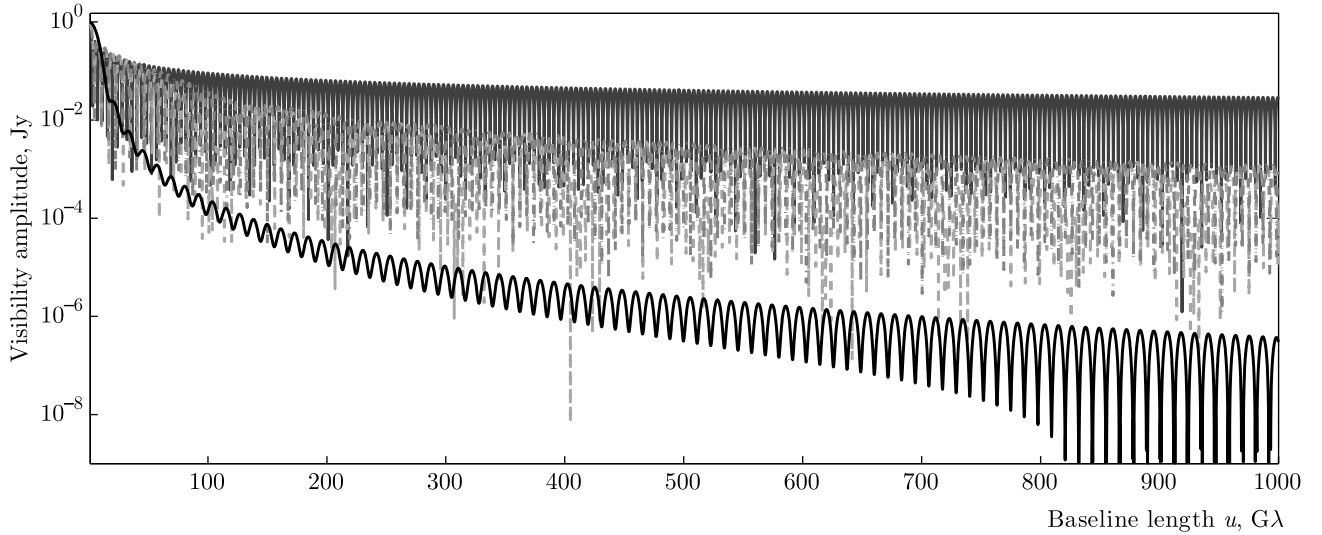
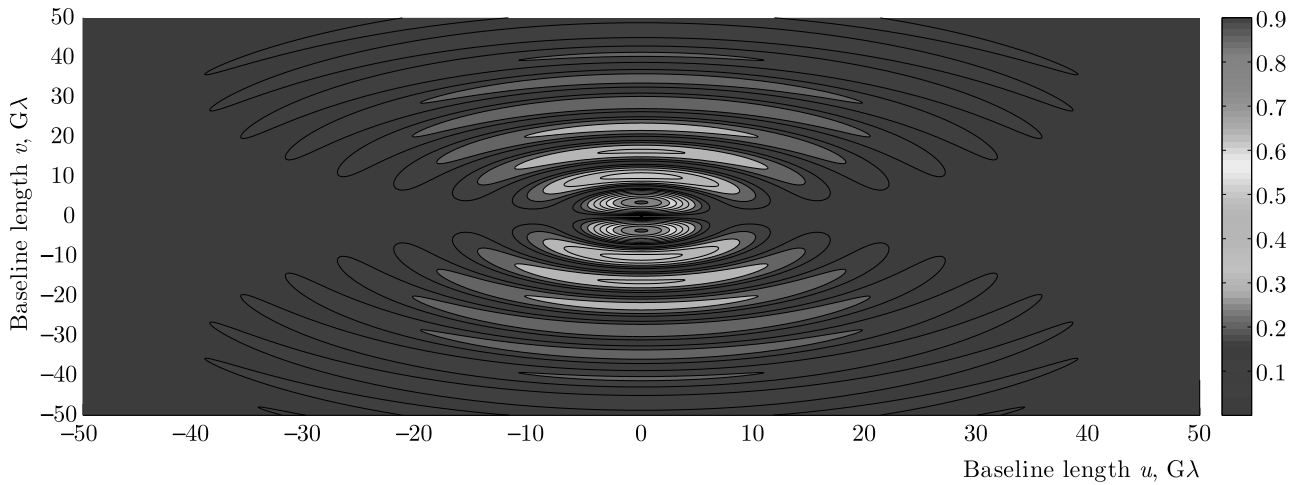
Из сказанного выше можно сделать следующие выводы. Интерферометрическое проявление фотонных колец черных дыр зависит от степени неоднородности распределения интенсивности по ширине кольца. С увеличением неоднородности требуются более чувствительные детекторы, способные фиксировать функцию видности от фотонных колец.

решения и в качестве примера построены образы и фотонные кольца бесконечно тонкого диска. Для простейшей формы образа кольца черной дыры были вычислены аналитически функции видности и была показана возможность детектирования колец черной дыры на базах  $u > 1/w$ , что соответствует расстоянию порядка расстояния от Земли до Луны и больше [7].

#### 4. ЗАКЛЮЧЕНИЕ

В работе рассматривались аналитические методы построения образа черной дыры Керра–Ньютона. Были выписаны точные аналитические

**Финансирование.** Работа выполнена при финансовой поддержке Российского фонда фундаментальных исследований (грант № 20-02-00469-а) и Государственного задания по научной программе ОКР «Миллиметрон».

Рис. 3. (В цвете онлайн) Одномерные функции видности в зависимости от  $u$ Рис. 4. (В цвете онлайн) Двумерная функция видности в зависимости от  $u, v$  для неоднородного анизотропного кольца

## ПРИЛОЖЕНИЕ А

Метрические коэффициенты метрики Керра–Ньютона равны [16]

$$g_{tt} = -\left(1 - \frac{2Mr - Q^2}{\Sigma}\right), \quad g_{rr} = \frac{\Sigma}{\Delta}, \quad g_{\theta\theta} = \Sigma,$$

$$g_{\phi\phi} = \frac{\sin^2 \theta}{\Sigma} ((r^2 + a^2)^2 - \Delta a^2 \sin^2 \theta),$$

$$g_{t\phi} = -\frac{(2Mr - Q^2)a \sin^2 \theta}{\Sigma}, \quad g^{\theta\theta} = \frac{1}{\Sigma},$$

$$g^{tt} = -\frac{(r^2 + a^2)^2 - \Delta a^2 \sin^2 \theta}{\Sigma \Delta}, \quad g^{rr} = \frac{\Delta}{\Sigma},$$

$$g^{\phi\phi} = \frac{\Delta - a^2 \sin^2 \theta}{\Delta \Sigma \sin^2 \theta}, \quad g^{t\phi} = -\frac{(2Mr - Q^2)a}{\Sigma \Delta}.$$

Определитель метрики равен [16]

$$g = -\Sigma^2 \sin^2 \theta.$$

Символы Кристоффеля равны [16]

$$\Gamma_{tr}^t = -\frac{pb}{\Delta}, \quad \Gamma_{r\phi}^t = \frac{a \sin^2 \theta}{\Delta} (pb + 2qr),$$

$$\Gamma_{\theta\phi}^t = -\frac{qa^3}{\Sigma} \sin^2 \theta \sin 2\theta, \quad \Gamma_{tt}^r = -\frac{\Delta p}{\Sigma},$$

$$\Gamma_{rr}^r = \frac{r}{\Sigma} + \frac{M - r}{\Delta}, \quad \Gamma_{r\theta}^r = -\frac{a^2 \sin 2\theta}{2\Sigma},$$

$$\begin{aligned}\Gamma_{\theta\theta}^\theta &= -\frac{a^2 \sin 2\theta}{2\Sigma}, & \Gamma_{rr}^\theta &= \frac{a^2 \sin 2\theta}{2\Sigma\Delta}, \\ \Gamma_{\theta\theta}^r &= -\frac{r\Delta}{\Sigma}, & \Gamma_{r\theta}^\theta &= \frac{r}{\Sigma}, \\ \Gamma_{\phi\phi}^r &= -\frac{\Delta \sin^2 \theta}{\Sigma}(r + pa^2 \sin^2 \theta), & \Gamma_{t\theta}^t &= \frac{qa^2 \sin 2\theta}{\Sigma}, \\ \Gamma_{tt}^\theta &= \frac{qa^2 \sin 2\theta}{\Sigma^2}, & \Gamma_{t\phi}^r &= \frac{a\Delta p \sin^2 \theta}{\Sigma}, \\ \Gamma_{t\phi}^\theta &= -\frac{qab \sin 2\theta}{\Sigma^2}, & \Gamma_{t\theta}^\phi &= \frac{2qa \cos \theta}{\Sigma \sin \theta}, \\ \Gamma_{\phi\phi}^\theta &= -\frac{\sin 2\theta}{2\Sigma} \left[ b - 2a^2 q \sin^2 \theta \left( 2 + \frac{a^2 \sin^2 \theta}{\Sigma} \right) \right], \\ \Gamma_{r\phi}^\phi &= \frac{r}{\Delta}(1 + 2q) + a^2 p \frac{\sin^2 \theta}{\Delta}, \\ \Gamma_{\theta\phi}^\phi &= \frac{\cos \theta}{\Delta \sin \theta} \left[ (1 + 2q)(b - 2qa^2 \sin^2 \theta) - \frac{2qa^2 b \sin^2 \theta}{\Sigma} \right], \\ \Gamma_{tr}^\phi &= -a \frac{rQ^2 + M(\Sigma - 2r^2)}{\Delta\Sigma^2},\end{aligned}$$

где

$$b = r^2 + a^2, \quad p = \frac{rQ^2 + M(\Sigma - 2r^2)}{\Sigma^2}, \quad q = \frac{Q^2 - 2Mr}{2\Sigma}.$$

## ПРИЛОЖЕНИЕ В

Выражение для радиального потенциала является алгебраическим уравнением четвертого порядка, которое удобно представить в виде [17]

$$R = (r - r_a)(r - r_b)(r - r_c)(r - r_d),$$

где корни уравнения записаны в порядке убывания,  $r_a > r_b > r_c > r_d$ . Явный вид решения этого уравнения записывается в виде [17]

$$\begin{aligned}r_a &= z + \sqrt{-\frac{\mathcal{A}}{2} - z^2 - \frac{\mathcal{B}}{4z}}, \\ r_b &= z - \sqrt{-\frac{\mathcal{A}}{2} - z^2 - \frac{\mathcal{B}}{4z}}, \\ r_c &= -z + \sqrt{-\frac{\mathcal{A}}{2} - z^2 + \frac{\mathcal{B}}{4z}}, \\ r_d &= -z - \sqrt{-\frac{\mathcal{A}}{2} - z^2 + \frac{\mathcal{B}}{4z}},\end{aligned}$$

где

$$\begin{aligned}\mathcal{A} &= a^2 - \eta - \lambda^2, \\ \mathcal{B} &= 2M(\eta + (\lambda - a)^2), \\ \mathcal{C} &= -a^2\eta - Q^2(\eta + (a - \lambda)^2),\end{aligned}$$

$$\begin{aligned}\mathcal{P} &= -\frac{A^2}{12} - \mathcal{C}, \\ \mathcal{Q} &= -\frac{\mathcal{A}}{3} \left[ \left( \frac{\mathcal{A}}{6} \right)^2 - \mathcal{C} \right] - \frac{\mathcal{B}^2}{8}, \\ \omega_\pm &= \sqrt[3]{-\frac{\mathcal{Q}}{2} \pm \sqrt{\left( \frac{\mathcal{P}}{3} \right)^3 + \left( \frac{\mathcal{Q}}{2} \right)^2}}, \\ z &= \sqrt{\frac{\omega_+ + \omega_-}{2} - \frac{\mathcal{A}}{6}} > 0.\end{aligned}$$

## ПРИЛОЖЕНИЕ С

Неполные эллиптические интегралы первого, второго и третьего рода определяются следующим образом:

$$\begin{aligned}F(\phi, k) &= \int_0^\phi \frac{d\theta}{\sqrt{1 - k \sin^2 \theta}}, \\ E(\phi, k) &= \int_0^\phi \sqrt{1 - k \sin^2 \theta} d\theta, \\ \Pi(\alpha^2, \phi, k) &= \int_0^\phi \frac{1}{1 - \alpha^2 \sin^2 \theta} \frac{d\theta}{\sqrt{1 - k \sin^2 \theta}}.\end{aligned}$$

Производная эллиптического интеграла второго рода  $E$  по параметру  $k$  задается как

$$E'(\phi, k) = \frac{\partial E(\phi, k)}{\partial k} = \frac{E(\phi, k) - F(\phi, k)}{2k}.$$

Полные эллиптические интегралы определяются условием  $\phi = \pi/2$  и обозначаются как

$$K(k) = F(\pi/2, k), \quad E(k) = E(\pi/2, k),$$

$$\Pi(n, k) = \Pi(n, \pi/2, k).$$

Введем обозначения

$$\begin{aligned}\nu &= \arcsin \sqrt{\frac{(r_b - r_d)(r - r_a)}{(r_a - r_d)(r - r_b)}}, & \alpha^2 &= \frac{r_a - r_d}{r_b - r_d}, \\ g &= \frac{2}{\sqrt{(r_a - r_c)(r_b - r_d)}}, & k &= \frac{(r_b - r_c)(r_a - r_d)}{(r_a - r_c)(r_b - r_d)}.\end{aligned}$$

Для вычисления интегралов  $I$  в работе использовались следующие табличные значения интегралов для случая, когда  $r > r_a$ . Данный интеграл вычисляется на с. 256 [21]:

$$\int_{r_a}^r \frac{dx}{\sqrt{(x - r_a)(x - r_b)(x - r_c)(x - r_d)}} = gF(\nu, k).$$

Этот интеграл вычисляется на с. 257 [21]:

$$\int_{r_a}^r \frac{x dx}{\sqrt{(x-r_a)(x-r_b)(x-r_c)(x-r_d)}} = \\ = g \left[ (r_a - r_b) \Pi(\alpha^2, \nu, k) + r_b F(\nu, k) \right].$$

Этот интеграл вычисляется на с. 259 [21]:

$$\int_{r_a}^r \frac{dx}{(p-x)\sqrt{(x-r_a)(x-r_b)(x-r_c)(x-r_d)}} = \\ = \frac{g}{(p-r_a)(p-r_b)} \left[ (r_a - r_b) \Pi \left( \alpha^2 \frac{p-r_b}{p-r_a}, \nu, k \right) + \right. \\ \left. + (p - r_a) F(\nu, k) \right].$$

Этот интеграл вычисляется на с. 130 [22]:

$$\int_{r_a}^r \frac{x^2 dx}{\sqrt{(x-r_a)(x-r_b)(x-r_c)(x-r_d)}} = \\ = gr_a^2 \int_0^{u_1} \frac{(1 - \alpha_1^2 \operatorname{sn}^2 u)^2}{(1 - \alpha^2 \operatorname{sn}^2 u)^2} du,$$

где

$$\operatorname{am} u_1 = \arcsin \sqrt{\frac{(r_b - r_d)(r - r_a)}{(r_a - r_d)(r - r_b)}}, \quad \alpha_1^2 = \frac{r_a - r_d}{r_b - r_d} \frac{r_b}{r_a}$$

и ам обозначает амплитуду  $u_1$ .

Данный интеграл вычисляется на с. 205 [22]:

$$\int \frac{(1 - \alpha_1^2 \operatorname{sn}^2 u)^2}{(1 - \alpha^2 \operatorname{sn}^2 u)^2} du = \\ = \frac{\alpha_1^4}{\alpha^4} \left[ V_0 + 2 \frac{\alpha^2 - \alpha_1^2}{\alpha_1^2} V_1 + \frac{(\alpha^2 - \alpha_1^2)^2}{\alpha_1^4} V_2 \right],$$

где (см. с. 201 [22])

$$V_0 = \int du = F(\nu, k), \\ V_1 = \int \frac{du}{1 - \alpha^2 \operatorname{sn}^2 u} = \Pi(\alpha^2, \nu, k), \\ V_2 = \int \frac{du}{(1 - \alpha^2 \operatorname{sn}^2 u)^2} = \\ = \frac{1}{2(\alpha^2 - 1)(k - \alpha^2)} \left[ \alpha^2 E(u) + (k - \alpha^2)u + \right. \\ \left. + (2\alpha^2 k + 2\alpha^2 - \alpha^4 - 3k) \Pi(\alpha^2, \nu, k) - \right. \\ \left. - \frac{\alpha^4 \operatorname{sn} u \operatorname{cn} u \operatorname{dn} u}{1 - \alpha^2 \operatorname{sn}^2 u} \right],$$

$\operatorname{sn} u$ ,  $\operatorname{cn} u$  и  $\operatorname{dn} u$  — эллиптические функции Якоби.

Интеграл  $I_\phi$  легко представить в виде табличных интегралов. Для этого разложим  $I_\phi$  как [23]

$$I_\phi = \int_{r_a}^r \frac{a(2rM - Q^2 - a\lambda)}{\Delta \sqrt{R}} dr = \\ = a \sum_{i=1}^{i=2} \int_{r_a}^r \frac{K_i dr}{(r - r_i) \sqrt{R}} = \\ = ga \sum_{i=1}^2 \Gamma_i \left[ (1 - \beta_i^2) \Pi(\nu, \gamma_i^2, k) + \beta_i^2 F(\nu, k) \right],$$

где

$$\gamma_i^2 = \frac{r_a - r_d}{r_b - r_d} \frac{r_i - r_b}{r_i - r_a}, \quad \beta_i^2 = \frac{r_i - r_a}{r_i - r_b},$$

$$r_i = M + (-1)^{i+1} \sqrt{M^2 - a^2 - Q^2}, \quad \Gamma_i = \frac{K_i}{r_a - r_i},$$

$$K_i = M + (-1)^{i+1} \frac{M^2 - Q^2/2 - a\lambda/2}{\sqrt{M^2 - a^2 - Q^2}},$$

Аналогично представим интеграл  $I_t$  в виде табличных интегралов как

$$I_t = \int_{r_a}^r \left[ \frac{A_1}{r - r_1} + \frac{A_2}{r - r_2} + 4M^2 - Q^2 + 2Mr + r^2 \right] \frac{dr}{\pm r \sqrt{R}},$$

где

$$A_1(r_1 - r_2) = (2Mr_1 - Q^2)(r_1^2 + a^2 - a\lambda),$$

$$A_2(r_1 - r_2) = -(2Mr_2 - Q^2)(r_2^2 + a^2 - a\lambda).$$

## ПРИЛОЖЕНИЕ D

Для вычисления функции видности использовались следующие табличные значения интегралов. Для вычисления интеграла (10) использовался табличный интеграл

$$\int_0^{2\pi} e^{-2\pi i u \rho \cos(\phi_\rho - \phi_u)} d\phi_\rho = 2\pi J_0(2\pi u \rho).$$

Для вычисления интеграла (11)–(13), использовались табличные интегралы (с. 484 [24])

$$\int_0^z t J_0(ut) dt = \frac{z}{u} J_1(uz),$$

$$\int_0^z t^2 J_0(ut) dt = \\ = \frac{z}{2u^2} [2uzJ_1(uz) - \pi J_1(uz)H_0(uz) + \pi J_0(uz)H_1(uz)],$$

$$\int_0^z t^3 J_0(ut) dt = \frac{z^2}{u^2} (2J_2(uz) - uzJ_3(uz)) = \\ = \frac{z^2}{u^2} [uzJ_1(uz) - 2J_2(uz)] = \\ = \frac{z^2}{u^2} [uzJ_1(uz) - \frac{4}{uz} J_1(uz) + 2J_0(uz)],$$

где  $H$  — функция Струве. Для вычисления интеграла (14) использовался табличный интеграл

$$\frac{2u}{\pi} \int_0^x t J_1(ut) dt = x[J_1(ux)H_0(ux) - J_0(ux)H_1(ux)].$$

## ЛИТЕРАТУРА

1. Event Horizon Telescope Collaboration, *Astrophys. J. Lett.* **875**, L1 (2019).
2. Event Horizon Telescope Collaboration, *Astrophys. J. Lett.* **875**, L2 (2019).
3. Event Horizon Telescope Collaboration, *Astrophys. J. Lett.* **875**, L3 (2019).
4. Event Horizon Telescope Collaboration, *Astrophys. J. Lett.* **875**, L4 (2019).
5. Event Horizon Telescope Collaboration, *Astrophys. J. Lett.* **875**, L5 (2019).
6. Event Horizon Telescope Collaboration, *Astrophys. J. Lett.* **875**, L6 (2019).
7. M. D. Johnson et al., *Sci. Adv.* **6**, 1310 (2020).
8. H. С. Кардашёв и др., *УФН* **184**, 1319 (2014).
9. T. Bronzwaer et al., *Astron. Astrophys.* **613**, 2 (2018).
10. M. Moscibrodzka and C. F. Gammie, *Month. Not. Roy. Astron. Soc.* **475**, 43 (2018).
11. S. C. Noble, P. K. Leung, C. F. Gammie, and L. G. Book, *Class. Quant. Grav.* **24**, 259 (2007).
12. J. Dexter, *Month. Not. Roy. Astron. Soc.* **462**, 115 (2016).
13. S. E. Gralla and A. Lupsasca, arXiv:2007.10336.
14. S. E. Gralla and A. Lupsasca, arXiv:2008.03879.
15. J. R. Farah, D. W. Pesce, M. D. Johnson, and L. L. Blackburn, *Astrophys. J.* **900**, 77 (2020).
16. Д. В. Гальцов, *Частицы и поля в окрестности черных дыр*, МГУ, Москва (1986).
17. S. E. Gralla and A. Lupsasca, *Phys. Rev. D* **101**, 044031 (2020).
18. S. E. Gralla, A. Lupsasca, *Phys. Rev. D* **101**, 044032 (2020).
19. C. T. Cunningham and J. M. Bardeen, *Astrophys. J.* **173**, L137 (1972).
20. A. R. Thompson, J. M. Moran, and G. W. J. George, *Interferometry and Synthesis in Radio Astronomy*, Springer (2017).
21. И. С. Градштейн, И. М. Рыжик, *Таблицы интегралов, сумм, рядов и произведений*, Физматгиз, Москва (1963).
22. P. F. Byrd and M. D. Friedman, *Handbook of Elliptic Integrals for Engineers and Scientists*, Springer (1971).
23. S. E. Vázquez and E. P. Esteban, *Nuovo Cim. B* **119**, 489 (2004).
24. M. Abramowitz and I. A. Stegun, *Handbook of Mathematical Functions*, Nat. Bureau Stand. (1972).